

Tumorregister München



- ▶ Survival
- ▶ Auswahlmatrix
- ▶ Homepage
- ▶ English

ICD-10 C50: Mammakarzinom (Frauen)

Inzidenz und Mortalität

Diagnosejahr	1998-2020
Patienten	73 231
Erkrankungen	77 086
Erstellungsdatum	24.08.2021
Datenbankexport	24.08.2021
Population (Frauen)	2,50 Mio.






Tumorregister München
Bayerisches Krebsregister - Regionalzentrum München
am Klinikum Großhadern/IBE
Marchioninstr. 15
81377 München
Deutschland

<https://www.tumorregister-muenchen.de>

https://www.tumorregister-muenchen.de/facts/base/bC50f_G-ICD-10-C50-Mammakarzinom-Frauen-Inzidenz-und-Mortalitaet.pdf

Index der Abbildungen und Tabellen

Abb./Tab.		Seite
1	Alle Fälle mit DCO-Anteil, weiteren Malignomen, Verstorbenen, Follow-up-Qualität nach Diagnosejahr	4
2	Inzidenz nach Diagnosejahr	5
3	Kenngrößen der Altersverteilung nach Diagnosejahr	6
4	Altersverteilung nach 5 Jahres-Altersklassen	7
5	Altersspezifische Inzidenz, DCO-Anteil, Anteil an allen malignen Tumoren	8
6	Altersverteilung und altersspezifische Inzidenz (Grafik)	9
6a	Altersspezifische Inzidenz international (Grafik)	10
7	Standardisierte Inzidenzratio von weiteren Malignomen	11
8a	Kartierung Inzidenz (BRD-S) nach Landkreisen (Grafik)	12
8b	Standardisierte Inzidenzratio (SIR) nach Landkreisen (Grafik)	13
9a	Mortalität nach Inzidenz-Kohorten	14
9b	Inzidenz und Mortalität nach Jahrgängen	15
9c	Tumorbedingt Verstorbene, mit Todesbescheinigung	16
10	Sterbealter Mediane	17
11	Mortalität nach Sterbejahr	18
12	Altersverteilung nach 5 Jahres-Altersklassen	19
13	Altersspezifische Mortalität	20
14	Weitere Tumoren bei Verstorbenen	21
15	Altersspezifische Mortalität (Erstmalignome)	22
16	Altersspezifische Mortalität (Einfachmalignome)	23
17	Altersverteilung und altersspezifische Mortalität (Grafik)	24
18a	Kartierung Mortalität (BRD-S) nach Landkreisen (Grafik)	25
18b	Standardisierte Mortalitätsratio (SMR) nach Landkreisen (Grafik)	26

**Allgemeine Anmerkungen zu den Auswertungen im Internet –
Basisstatistiken (graue Taste ) , Überleben (rote Taste )
und spezielle Auswertungen (blaue Taste )**

Mit diesen Auswertungen belegen Kliniken und Ärzte für ganz Oberbayern und die Stadt und den Landkreis Landshut[#], zusammen 4,69 Mio. Einwohner, die Krebserkrankungshäufigkeiten^{##} und die erreichten Langzeitergebnisse. Das im Tumorregister München (TRM) berechnete Überleben wird mit den Ergebnissen der bevölkerungsbezogenen Krebsregistrierung in den USA (SEER) verglichen.

Bei Zusammenschau mehrerer Tabellen fallen immer wieder unterschiedliche Summen auf. Diese beruhen darauf, dass einmal Patienten die Berechnungsgrundlage bilden, z.B. wenn es um Anteile von Mehrfachtumoren oder DCO-Fällen^{###} geht. Im anderen Fall sind die einzelnen Tumordiagnosen Grundlage der Berechnung, z.B. wenn es um Inzidenzen geht.

Die Fußzeile beschreibt die Aktualität der Daten. Einmal jährlich werden die Basisstatistiken und das Überleben aktualisiert. Diese jährliche Aufbereitung stellt somit den Jahresbericht des TRM dar.

Die Kliniken und Ärzte haben selbstverständlich Zugang zu wesentlich detaillierteren Daten, anhand derer sie ihre Daten und Ergebnisse prüfen, vergleichen und gegebenenfalls optimieren.

Tumorregister München, im August 2021

- # Basisdaten werden ab 1998 ausgewiesen. Erkennbar ist die Zunahme der Neuerkrankungen, die durch zweimalige Erweiterung des Einzugsgebietes begründet ist (2002 von 2,65 Mio. auf 4,10 und 2007 auf 4,69 Mio. Einwohner).
- ## Wegen der großen Häufigkeit und der guten Prognose der nicht-melanomatösen Hautkrebserkrankungen (C44) erfolgt keine systematische Erfassung. C44 wird nicht als Ersttumor ausgewiesen, allerdings als ein Folgetumor.
- ### DCO (death certificate only) bezeichnet eine Krebserkrankung, die dem TRM erst mit der Todesbescheinigung zugänglich wurde.

ICD-10-Kodes (ICD-10-GM 2015) zur Kollektiv-Definition

Kode	Bezeichnung
C50.-	Bösartige Neubildung der Brustdrüse [Mamma]
C50.0	Brustwarze und Warzenhof
C50.1	Zentraler Drüsenkörper der Brustdrüse
C50.2	Oberer innerer Quadrant der Brustdrüse
C50.3	Unterer innerer Quadrant der Brustdrüse
C50.4	Oberer äußerer Quadrant der Brustdrüse
C50.5	Unterer äußerer Quadrant der Brustdrüse
C50.6	Recessus axillaris der Brustdrüse
C50.8	Brustdrüse, mehrere Teilbereiche überlappend
C50.9	Brustdrüse, nicht näher bezeichnet

Geschlecht: Weiblich

INZIDENZ

Tabelle 1

Fälle mit invasivem Tumor nach Diagnosejahren, Anteil von DCO, weiteren Malignomen, Verstorbenen und gutem Follow-up (einschl. DCO)

Diagnose- jahr	Alle Fälle n	DCO- Fälle n	Anteil DCO %	Anteil mind. 1 weiteres Malignom vorher + synchron %	Anteil mind. 1 weiteres Malignom nachher %	Anteil verstorben %	Anteil gutes Follow-up %
1998	1922	114	5.9	13.5	10.2	62.1	95.6
1999	1958	94	4.8	12.7	10.0	57.7	94.8
2000	1971	83	4.2	13.0	9.7	56.8	96.3
2001	2001	97	4.8	13.2	9.4	52.9	94.7
2002	3386	268	7.9	13.1	9.2	57.2	95.8 #
2003	3162	244	7.7	13.1	8.8	56.2	95.2
2004	3266	197	6.0	13.2	8.5	51.3	94.8
2005	3376	195	5.8	13.3	8.1	49.8	95.3
2006	3330	135	4.1	13.5	7.7	45.9	93.6
2007	3673	189	5.1	13.6	7.3	45.6	93.9 #
2008	4062	172	4.2	13.8	6.8	41.4	96.9
2009	4122	190	4.6	14.0	6.4	40.5	97.5
2010	4029	173	4.3	14.2	5.8	37.9	97.0
2011	3936	168	4.3	14.5	5.3	34.9	96.9
2012	3971	134	3.4	14.7	4.9	33.0	96.6
2013	3910	157	4.0	14.9	4.5	31.3	97.1
2014	3792	148	3.9	15.1	4.0	28.7	96.2
2015	3827	153	4.0	15.4	3.4	25.7	95.4
2016	3683	165	4.5	15.6	2.9	23.6	99.4
2017	3680	142	3.9	15.8	2.5	18.6	99.3
2018	3576	72	2.0	16.0	2.1	13.7	99.3
2019	3526	10	0.3	16.2	1.6	8.2	99.3
2020	2927	1	0.0	16.3	1.1	3.9	99.8 ##
1998-2020	77086	3301	4.3	16.3	10.2	36.4	96.7

77 086 Diagnosen aus den Jahren 1998-2020 beziehen sich auf insgesamt 73 231 Patienten. Von diesen 73 231 Patienten sind derzeit 17 661 Patienten (24,1 %) mit mehr als einem Malignom registriert, das auch eine andere Tumorart sein kann. Dabei gibt es 14 566 / 2 540 / 555 (19,9 % / 3,5 % / 0,8 %) Krankheitsverläufe mit 2 / 3 / >3 Malignomen.

Der Anstieg der Fallzahlen in 2002 und 2007 ist durch Erweiterungen des Einzugsgebiets begründet.

Bitte beachten: Die Bearbeitung der letzten Jahrgangskohorten ist noch nicht abgeschlossen. Die ausgewerteten Jahrgänge entnehmen Sie bitte den jeweiligen Überschriften.

Lesehilfe:

Im Jahr 2018 ist eine Gruppe von 3 576 Fällen diagnostiziert worden, von denen 16,0 % vorher und/oder zeitgleich (synchron) mindestens ein weiteres Malignom hatten, das auch eine andere Tumorart sein kann. Bei 2,1 % der Fälle ist im Follow-up mindestens ein neues Malignom aufgetreten (alle Zahlen beziehen sich auf das Datum des Datenbankexports, s. Deckblatt).

Tabelle 2

Inzidenzen nach Diagnosejahr einschl. DCO-Fälle
(ab 2002 erweitertes Einzugsgebiet von 2,65 auf 4,10 Mio.,
ab 2007 von 4,10 auf 4,94 Mio. berücksichtigt)

Diagnose- jahr	Anzahl n	Inzidenz roh	Inzidenz WS	Inzidenz ES	Inzidenz BRD-S
1998	1922	163.4	93.2	128.3	145.5
1999	1958	165.0	94.4	129.3	146.7
2000	1971	164.1	92.2	127.3	145.0
2001	2001	164.5	94.4	129.6	147.4
2002	3386	172.9	95.7	131.9	151.9
2003	3162	160.5	86.8	119.9	138.7
2004	3266	165.2	91.0	124.6	143.1
2005	3376	169.7	92.4	127.1	145.6
2006	3330	165.8	90.8	124.0	141.4
2007	3673	159.1	86.2	118.5	135.4
2008	4062	175.0	94.5	129.6	149.1
2009	4122	177.2	96.1	131.8	150.4
2010	4029	172.1	91.1	125.7	143.7
2011	3936	168.4	88.7	122.1	140.2
2012	3971	168.3	88.2	121.4	140.1
2013	3910	164.0	86.1	118.0	135.9
2014	3792	157.5	81.5	112.3	129.7
2015	3827	157.3	80.9	111.5	129.4
2016	3683	150.0	75.4	104.5	122.6
2017	3680	149.3	75.4	104.4	121.7
2018	3576	144.0	72.8	100.6	117.5
2019	3526	142.0	73.0	100.7	116.7
2020	2927	117.9	61.3	84.0	97.6
1998-2020	77086	159.7	85.1	117.1	134.8

Bei der Inzidenzberechnung wird jede Tumordiagnose (unabhängig ob Ersttumor oder nicht) berücksichtigt.

Tabelle 3

 Kenngrößen der Altersverteilung nach Diagnosejahr
 (mit DCO)

Diagnose- jahr	Anzahl n	Mittel- wert	Std. abw.	Median						
				Min.	Max.	10%	25%	50%	75%	90%
1998	1922	62.5	13.9	28.4	97.5	45.4	52.9	60.9	72.9	82.7
1999	1958	62.2	14.1	23.9	99.3	43.9	52.5	61.3	73.0	81.4
2000	1971	63.0	14.0	20.4	100	44.8	53.2	61.9	74.0	81.7
2001	2001	62.4	13.9	24.3	97.7	44.4	52.7	61.5	72.9	81.2
2002	3386	64.0	14.3	21.5	99.4	45.3	53.8	63.4	74.9	82.6
2003	3162	64.3	14.5	24.4	105	44.2	54.1	64.0	75.6	82.9
2004	3266	63.7	14.5	18.8	98.9	44.6	53.5	63.9	74.3	83.3
2005	3376	64.2	14.1	21.7	102	45.2	54.8	64.1	74.1	83.2
2006	3330	63.6	14.2	23.3	102	44.0	53.5	64.6	72.9	82.7
2007	3673	64.2	14.4	20.7	103	44.7	53.3	64.8	73.9	83.9
2008	4062	64.0	14.1	21.6	109	44.8	53.6	64.9	73.5	82.6
2009	4122	63.9	14.0	25.0	109	45.3	53.4	64.5	73.5	83.1
2010	4029	64.5	14.1	25.2	105	45.8	53.3	65.2	74.3	83.9
2011	3936	64.4	14.3	21.7	102	45.6	52.8	64.9	74.5	84.0
2012	3971	64.3	14.2	23.9	101	45.6	52.8	64.9	74.9	82.8
2013	3910	64.4	14.5	23.8	108	45.6	52.6	64.8	75.1	83.9
2014	3792	64.7	14.2	21.5	106	46.2	52.8	65.3	75.4	83.1
2015	3827	64.7	14.3	22.7	101	46.2	52.7	65.7	75.9	82.9
2016	3683	65.3	14.5	23.4	103	46.4	53.6	66.7	76.6	82.8
2017	3680	65.3	14.4	17.2	104	46.6	53.5	66.2	76.9	82.9
2018	3576	65.3	14.4	23.4	100	46.0	53.9	66.3	77.3	83.1
2019	3526	64.9	13.9	21.2	98.8	46.7	53.9	65.5	76.1	82.8
2020	2927	64.5	14.2	23.7	104	45.5	53.1	64.9	76.4	82.4
1998–2020	77086	64.2	14.2	17.2	109	45.4	53.3	64.5	75.1	83.0

Tabelle 4

Altersverteilung nach 5 Jahres-Altersklassen für 2007-2020
(mit DCO)

Alter bei Diagnose Jahre	Anzahl n	%	Kum. %
0-4			
5-9			
10-14			
15-19	1	0.0	0.0
20-24	21	0.0	0.0
25-29	183	0.3	0.4
30-34	527	1.0	1.4
35-39	1234	2.3	3.7
40-44	2703	5.1	8.9
45-49	4584	8.7	17.6
50-54	5730	10.9	28.4
55-59	5098	9.7	38.1
60-64	5923	11.2	49.3
65-69	6929	13.1	62.5
70-74	6039	11.5	73.9
75-79	5764	10.9	84.9
80-84	4002	7.6	92.5
85+	3976	7.5	100.0
Gesamt	52714	100.0	

Tabelle 5

Altersspezifische Inzidenz mit DCO-Anteil und Anteil an allen Krebserkrankungen für 2007–2020

Alter bei Diagnose Jahre	Anzahl n	Altersspez. Inzidenz	DCO-Rate n=1874 %	Anteil Krebs n=153567 %
0– 4		0.0		
5– 9		0.0		
10–14		0.0		
15–19	1	0.1		0.4
20–24	21	1.1		4.1
25–29	181	8.1	0.6	15.5
30–34	520	22.8		24.5
35–39	1225	53.9	0.5	35.2
40–44	2663	110.0	0.4	43.7
45–49	4489	172.4	0.5	48.2
50–54	5598	222.9	0.4	45.3
55–59	4978	228.6	0.7	37.7
60–64	5780	304.4	0.8	37.4
65–69	6737	371.6	1.1	35.8
70–74	5846	340.0	1.8	29.7
75–79	5523	367.8	3.4	28.6
80–84	3845	361.2	8.2	25.3
85+	3857	370.0	27.2	23.8
Gesamt	51264		3.7	33.4
Inzidenz				
Roh		152.6		
WS		80.0		
ES		110.1		
BRD–S		126.9		

Die altersspezifische Inzidenz beschreibt das Erkrankungsrisiko in den jeweiligen Altersklassen; die Altersverteilung ist von der Besetzung der jeweiligen Altersklasse abhängig und beschreibt das erfahrbare Krankheitsbild aus dem Versorgungsalltag (s. folgende Abbildung).

ICD-10 C50: Bösartige Neubildung der Brustdrüse (Frauen)

Altersverteilung und altersspez. Inzidenz 2007 - 2020 (n=51264)

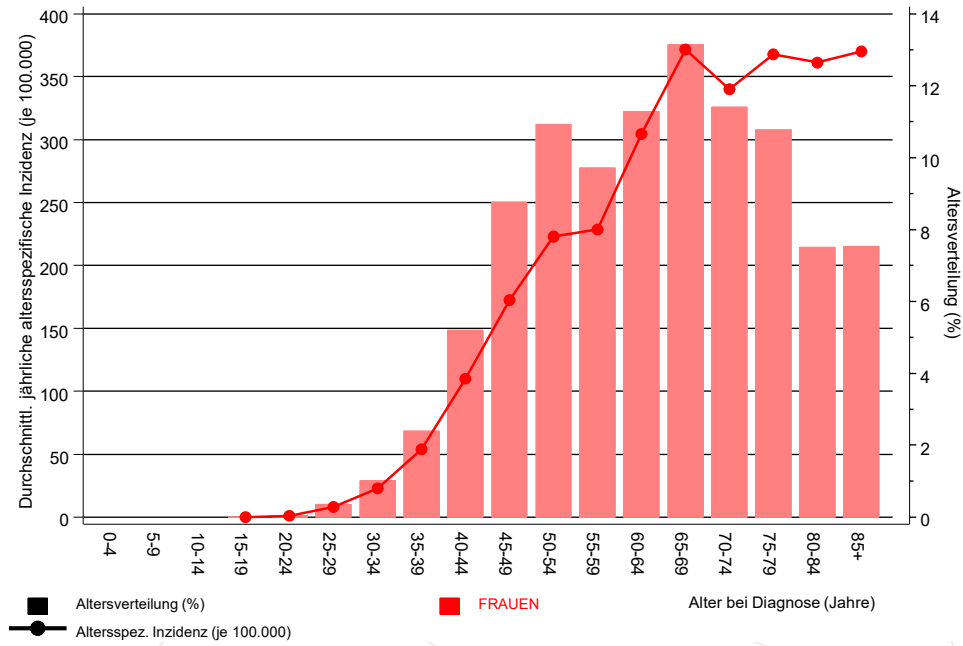


Abb. 6. Altersverteilung (Mittelwert=64,5 J., Median=65,1 J.) und altersspezifische Inzidenz.

ICD-10 C50: Bösartige Neubildung der Brustdrüse (Frauen)
 Altersspezifische Inzidenzraten im internationalen Vergleich

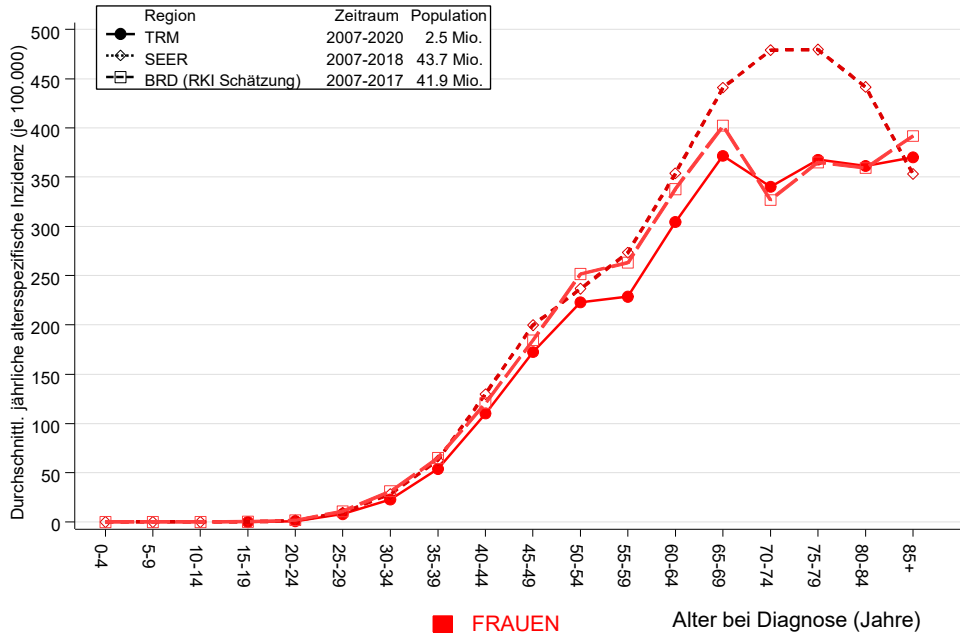


Abb. 6a. Altersspezifische Inzidenz im Einzugsgebiet des Tumorregisters München im Vergleich mit der BRD (RKI Schätzung) und SEER (Surveillance, Epidemiology, and End Results, USA).

Quelle:

Geschätzte altersspezifische Fallzahlen für Deutschland, letzte Aktualisierung: 16.03.2021. Zentrum für Krebsregisterdaten im Robert Koch-Institut (RKI) auf Basis der epidemiologischen Landeskrebsregisterdaten. <http://www.krebsdaten.de>. Abrufdatum: 17.08.2021
 Surveillance, Epidemiology, and End Results (SEER) Program SEER*Stat Database: Incidence - SEER 21 Regs Research Data, released April 2021, based on the November 2020 submission. <http://www.seer.cancer.gov>.

Tabelle 7

Standardisierte Inzidenzratio (SIR, mit 95%-Konfidenzintervallen),
zusätzliches absolutes Risiko (EAR) und DCO-Rate von weiteren Malignomen
für 1998-2020

Diagnose	Beobachtet n	Erwartet n	SIR	KI 95%	KI 95%	EAR	DCO %
C03-C06 Mundhöhle	39	20.2	1.9	1.4	2.6 #	0.6	2.6
C07-C08 Speicheldrüse	15	5.1	2.9	1.6	4.9 #	0.3	6.7
C09-C10 Oropharynx	35	15.4	2.3	1.6	3.2 #	0.6	
C15 Ösophagus	61	22.6	2.7	2.1	3.5 #	1.2	9.8
C16 Magen	233	106.0	2.2	1.9	2.5 #	3.8	8.6
C17 Dünndarm	44	18.6	2.4	1.7	3.2 #	0.8	
C18 Kolon	576	306.0	1.9	1.7	2.0 #	8.1	7.3
C19-C20 Rektum	198	128.3	1.5	1.3	1.8 #	2.1	6.1
C21 Anus/Analkanal	43	19.1	2.3	1.6	3.0 #	0.7	2.3
C22 Leber	72	40.2	1.8	1.4	2.3 #	1.0	22.2
C23-C24 Galle	82	44.2	1.9	1.5	2.3 #	1.1	14.6
C25 Pankreas	322	148.2	2.2	1.9	2.4 #	5.2	22.0
C26 Gastrointest.Ca	12	5.0	2.4	1.2	4.2 #	0.2	50.0
C33-C34 Lunge	628	259.4	2.4	2.2	2.6 #	11.1	10.0
C43 Malign. Melanom	292	134.3	2.2	1.9	2.4 #	4.7	3.1
C46,C49 Weichteilsarkom	62	19.0	3.3	2.5	4.2 #	1.3	3.2
C48 Peritoneal	39	14.1	2.8	2.0	3.8 #	0.8	7.7
C50 Mamma	3908	1083.0	3.6	3.5	3.7 #	85.0	
C51 Vulva	73	34.3	2.1	1.7	2.7 #	1.2	1.4
C53 Cervix uteri	82	47.5	1.7	1.4	2.1 #	1.0	9.8
C54 Corpus uteri	432	189.3	2.3	2.1	2.5 #	7.3	1.6
C55,C57 Sonst.gyn.Tumor	13	6.3	2.1	1.1	3.5 #	0.2	46.2
C56 Ovar/Tube	314	134.3	2.3	2.1	2.6 #	5.4	8.6
C64 Niere	169	75.6	2.2	1.9	2.6 #	2.8	6.5
C65 Nierenbecken	19	10.0	1.9	1.1	3.0 #	0.3	
C66 Harnleiter	14	5.2	2.7	1.5	4.5 #	0.3	
C67 Harnblase	102	61.3	1.7	1.4	2.0 #	1.2	5.9
C69 Augenmelanom	13	4.2	3.1	1.7	5.3 #	0.3	
C70-C72 ZNS	63	42.9	1.5	1.1	1.9 #	0.6	14.3
C73 Schilddrüse	110	61.2	1.8	1.5	2.2 #	1.5	2.7
C76-C79 Unbek.Primär-Ca	68	57.0	1.2	0.9	1.5 #	0.3	2.9
C81 M.Hodgkin-L.	14	6.1	2.3	1.3	3.8 #	0.2	7.1
C82-C85 Non-Hodgkin-L.	263	127.2	2.1	1.8	2.3 #	4.1	3.4
C90 Plasmozytom	66	39.3	1.7	1.3	2.1 #	0.8	18.2
C91-C96 Leukämie	139	47.1	3.0	2.5	3.5 #	2.8	11.5
Sonst. Malignome	89	50.2	1.8	1.4	2.2 #	1.2	10.1
Nicht beobachtet	0	1.5	0.0	0.0	2.5	-0.0	
Weitere Malignome gesamt	8704	3389.3	2.6	2.5	2.6 #	159.9	4.5
Patienten							69887
Altersmedian bei weiterem Malignom (Jahre)							70.6
Personenjahre							332365
Mittlere Beobachtungszeit (Jahre)							4.8
Mediane Beobachtungszeit (Jahre)							3.1

Das Auftreten des weiteren Malignoms ist statistisch auffällig.

Beobachtete weitere Malignome mit der Häufigkeit 1 bis 11 sind in der Kategorie „Sonst. Malignome“ zusammengefasst.

Durchschnittliche Inzidenz (BRD 87-Standard) 2007 - 2020

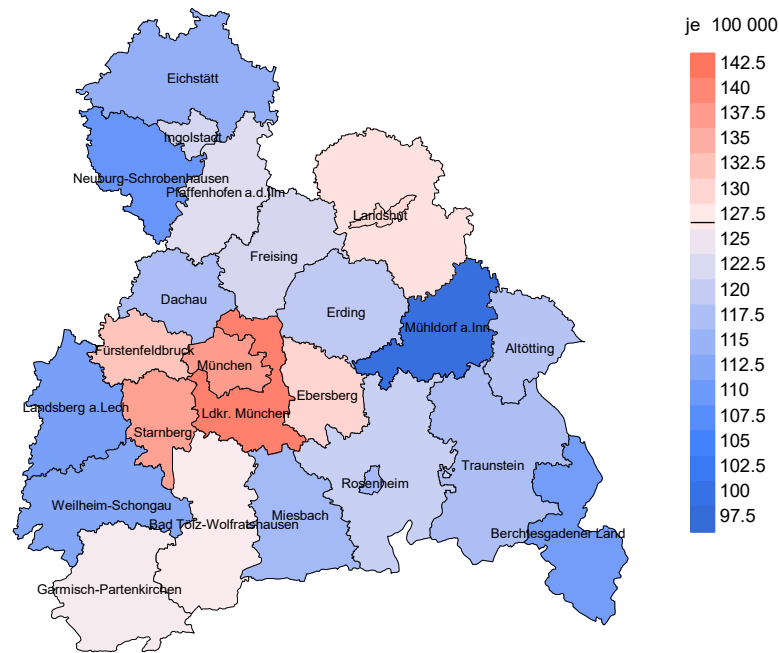


Abb. 8a. Kartierung der Inzidenz (BRD-Standard, einschl. DCO-Fälle) nach Landkreisen als Durchschnitt für die Diagnosejahrgänge 2007 bis 2020. Die rote bzw. blaue Farbe repräsentiert entsprechend ihrer Intensität höhere bzw. niedrigere Inzidenzen im Vergleich zum Mittel in der gesamten Region (126,9/100 000 WS N=51 264), weiß.

Vorsicht bei der Interpretation! Im Landkreis Ebersberg als Beispiel mit 67 727 weiblichen Einwohnern (gemittelt) sind zwischen 2007 und 2020 insgesamt 1 468 Frauen an Mammakarzinom (Frauen) neu erkrankt. Hieraus errechnet sich eine durchschnittliche Inzidenz (BRD-Standard) von 130.2/100 000. Unter Berücksichtigung möglicher Schwankungen kann die Inzidenz in diesem Landkreis mit einer Wahrscheinlichkeit von 99% zwischen 121.5 und 139.3/100 000 liegen.

Standardisierte Inzidenzratio (SIR) 2007 - 2020

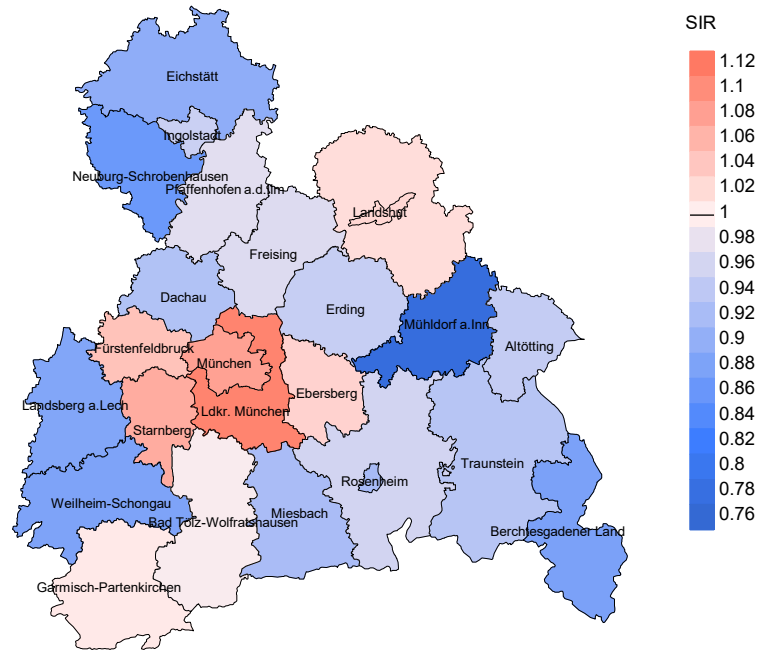


Abb. 8b. Kartierung der Standardisierten Inzidenzratio (SIR, einschl. DCO-Fälle) nach Landkreisen als Durchschnitt für die Diagnosejahrgänge 2007 bis 2020. Die rote bzw. blaue Farbe repräsentiert entsprechend ihrer Intensität höhere bzw. niedrigere SIR-Werte im Vergleich zum Erwartungswert der gesamten Region von 1.0 (N=51 264), weiß.

Vorsicht bei der Interpretation! Im Landkreis Ebersberg als Beispiel mit 67 153 weiblichen Einwohnern (gemittelt) sind zwischen 2007 und 2020 insgesamt 1 468 Frauen an Mammakarzinom (Frauen) neu erkrankt. Hieraus errechnet sich eine durchschnittliche Standardisierte Inzidenzratio (SIR) von 1.03. Unter Berücksichtigung möglicher Schwankungen kann der Wert in diesem Landkreis mit einer Wahrscheinlichkeit von 99% zwischen 0.96 und 1.10 liegen und gilt damit als statistisch unauffällig.

MORTALITÄT

Tabelle 9a

Jahrgangskohorten: Neuerkrankte Fälle, Follow-up-Status, Anteil von DCO, bisher aus der Kohorte Verstorbene und Anteil der Sterbefälle mit Todesbescheinigungen (ab 2002 erweitertes Einzugsgebiet von 2,65 auf 4,10 Mio., ab 2007 von 4,10 auf 4,94 Mio. berücksichtigt)

Diagnose- jahr	Neu- erkrankungen n	Anteil gutes Follow-up %	Anteil DCO %	Ver- storbene n	Anteil verstorben %	Anteil verstorben mit Todes- bescheinigung %
1998	1922	95.6	5.9	1193	62.1	93.5
1999	1958	94.8	4.8	1130	57.7	93.4
2000	1971	96.3	4.2	1120	56.8	95.1
2001	2001	94.7	4.8	1059	52.9	95.3
2002	3386	95.8	7.9	1938	57.2	94.9
2003	3162	95.2	7.7	1778	56.2	94.9
2004	3266	94.8	6.0	1676	51.3	95.0
2005	3376	95.3	5.8	1682	49.8	94.3
2006	3330	93.6	4.1	1528	45.9	94.3
2007	3673	93.9	5.1	1675	45.6	93.7
2008	4062	96.9	4.2	1681	41.4	93.0
2009	4122	97.5	4.6	1668	40.5	92.9
2010	4029	97.0	4.3	1525	37.9	92.8
2011	3936	96.9	4.3	1373	34.9	93.3
2012	3971	96.6	3.4	1312	33.0	90.8
2013	3910	97.1	4.0	1222	31.3	91.5
2014	3792	96.2	3.9	1088	28.7	88.6
2015	3827	95.4	4.0	983	25.7	84.4
2016	3683	99.4	4.5	871	23.6	84.2
2017	3680	99.3	3.9	684	18.6	79.2
2018	3576	99.3	2.0	490	13.7	72.7
2019	3526	99.3	0.3	288	8.2	85.4
2020	2927	99.8	0.0	115	3.9	86.1
1998-2020	77086	96.7	4.3	28079	36.4	92.1

Tabelle 9b

Jahrgangskohorten der neuerkrankten Fälle und der Sterbefälle sowie die Anzahl der Sterbefälle aus der Jahrgangskohorte der Neuerkrankten im gleichen Jahr und der prozentuale Anteil mit Todesbescheinigung (mit DCO)
(ab 2002 erweitertes Einzugsgebiet von 2,65 auf 4,10 Mio.,
ab 2007 von 4,10 auf 4,94 Mio. berücksichtigt)

Diagnose-/ Sterbe- jahr	Neu- erkrankungen n	Ver- storbene n	Anteil verstorben mit Todes- bescheinigung %	Verstorbene im selben Jahr n	Anteil verstorben im selben Jahr %
1998	1922	818	87.2	156	8.1
1999	1958	813	87.8	120	6.1
2000	1971	838	90.5	123	6.2
2001	2001	828	90.8	122	6.1
2002	3386	1246	96.9	334	9.9
2003	3162	1376	97.4	304	9.6
2004	3266	1412	97.7	265	8.1
2005	3376	1450	97.0	274	8.1
2006	3330	1412	97.3	227	6.8
2007	3673	1578	98.0	266	7.2
2008	4062	1660	98.4	301	7.4
2009	4122	1653	98.4	250	6.1
2010	4029	1736	98.4	265	6.6
2011	3936	1830	99.0	273	6.9
2012	3971	1824	98.2	239	6.0
2013	3910	1921	98.6	266	6.8
2014	3792	1858	98.3	252	6.6
2015	3827	1997	98.5	252	6.6
2016	3683	2005	98.6	281	7.6
2017	3680	2119	96.9	243	6.6
2018	3576	1765	60.9	141	3.9
2019	3526	1606	46.9	89	2.5
2020	2927	2049	88.8	73	2.5
1998-2020	77086	35794	92.5	5116	6.6

Tabelle 9c

Jahrgangskohorten der Sterbefälle, unterteilt nach wahrscheinlich tumorbedingt, wahrscheinlich nicht tumorbedingt und mit Krebsdiagnose auf Todesbescheinigung (mit DCO)

(ab 2002 erweitertes Einzugsgebiet von 2,65 auf 4,10 Mio.,
ab 2007 von 4,10 auf 4,94 Mio. berücksichtigt)

Sterbe- jahr	Verstorbene n	Anteil tumor- bedingt verstorben %	Anteil nicht tumorbedingt verstorben %	Anteil Krebs auf Todesbescheinigung %
1998	818	69.4	30.6	84.4
1999	813	71.3	28.7	86.7
2000	838	70.9	29.1	83.1
2001	828	67.3	32.7	83.2
2002	1246	72.1	27.9	86.4
2003	1376	70.1	29.9	84.6
2004	1412	75.8	24.2	85.9
2005	1450	69.7	30.3	81.5
2006	1412	72.2	27.8	83.7
2007	1578	69.6	30.4	81.4
2008	1660	69.2	30.8	80.4
2009	1653	68.1	31.9	79.2
2010	1736	68.7	31.3	80.1
2011	1830	67.8	32.2	80.3
2012	1824	66.9	33.1	78.8
2013	1921	63.7	36.3	76.1
2014	1858	64.7	35.3	77.1
2015	1997	63.3	36.7	75.6
2016	2005	64.7	35.3	77.1
2017	2119	60.2	39.8	72.8
2018	1765	55.8	44.2	65.6
2019	1606	49.8	50.2	69.5
2020	2049	49.8	50.2	63.8
1998–2020	35794	65.2	34.8	78.4

Tabelle 10

Mediane zum Sterbealter für die Gruppierung der Tabelle 9

Sterbe- jahr	Verstorbene n	Sterbe- alter Jahre	Sterbe- alter tumor- bedingt verstorben Jahre	Sterbe- alter nicht tumor- bedingt verstorben Jahre	Sterbe- alter bei Krebs auf Todes- bescheinigung Jahre
1998	818	76.4	72.9	83.5	76.0
1999	813	75.5	71.1	84.3	75.1
2000	838	76.3	71.1	85.2	74.9
2001	828	75.9	69.6	83.6	73.6
2002	1246	76.9	71.0	85.6	75.5
2003	1376	75.7	69.7	84.6	72.8
2004	1412	76.7	71.7	84.7	74.2
2005	1450	76.9	70.6	85.0	74.0
2006	1412	77.2	71.5	85.5	74.2
2007	1578	77.6	71.0	85.7	73.1
2008	1660	78.7	72.6	86.1	75.2
2009	1653	78.8	72.6	85.9	74.8
2010	1736	78.6	73.4	86.0	75.5
2011	1830	79.0	73.9	86.4	75.6
2012	1824	78.2	73.3	87.0	75.0
2013	1921	79.1	74.4	86.2	76.4
2014	1858	80.0	75.0	87.3	77.2
2015	1997	79.7	76.0	86.2	77.3
2016	2005	79.5	75.7	86.9	77.3
2017	2119	80.7	77.0	86.4	78.2
2018	1765	79.5	75.2	84.5	76.9
2019	1606	79.6	74.2	83.7	77.0
2020	2049	81.0	76.1	84.8	77.3
1998–2020	35794	78.6	73.6	85.6	75.9

Für in 2018 neugeborene Jungen in Bayern beträgt die mittlere Lebenserwartung 79,3 Jahre und für neugeborene Mädchen 83,8 Jahre.

Als tumorbedingt verstorben gilt, wer als Todesursache 'tumorabhängig' und/oder als Progressionsangabe 'tumorabh. Tod', 'Metastase' oder 'Progression' aufwies.

Tabelle 11

Mortalität (tumorbedingter Tod) und Mortalitäts-Inzidenz-Index nach Sterbejahr

Sterbe- jahr	Verst. n	Mort. roh	MI-Index roh	Mort. WS	MI-Index WS	Mort. ES	MI-Index ES	Mort. BRD-S	MI-Index BRD-S
1998	569	48.4	0.30	21.9	0.24	32.3	0.26	40.7	0.29
1999	581	49.0	0.30	22.9	0.25	33.4	0.26	41.4	0.29
2000	595	49.5	0.31	22.9	0.25	33.5	0.27	41.6	0.29
2001	558	45.9	0.28	21.7	0.23	31.5	0.25	38.8	0.27
2002	898	45.9	0.27	20.7	0.22	30.3	0.24	37.6	0.25
2003	967	49.1	0.31	23.0	0.27	33.4	0.28	40.9	0.30
2004	1070	54.1	0.34	23.9	0.27	35.2	0.29	44.0	0.32
2005	1011	50.8	0.31	22.9	0.26	33.4	0.27	41.3	0.29
2006	1020	50.8	0.32	22.2	0.25	32.6	0.27	41.0	0.30
2007	1103	47.8	0.31	20.9	0.25	30.6	0.26	38.1	0.29
2008	1151	49.6	0.29	20.5	0.22	30.4	0.24	38.5	0.26
2009	1128	48.5	0.28	20.5	0.22	30.2	0.24	37.8	0.26
2010	1193	51.0	0.30	20.6	0.23	30.6	0.25	39.1	0.28
2011	1241	53.1	0.33	21.1	0.24	31.4	0.26	39.7	0.29
2012	1221	51.7	0.32	20.7	0.24	30.8	0.26	38.9	0.28
2013	1223	51.3	0.32	19.8	0.24	29.7	0.26	38.2	0.29
2014	1202	49.9	0.33	18.6	0.23	28.1	0.26	36.4	0.29
2015	1267	52.1	0.34	18.6	0.24	28.5	0.26	37.7	0.30
2016	1299	52.9	0.36	20.1	0.27	30.0	0.29	38.7	0.33
2017	1276	51.8	0.36	18.5	0.25	28.0	0.27	36.9	0.31
2018	991	39.9	0.29	15.6	0.22	23.0	0.24	29.3	0.26
2019	803	32.3	0.23	12.7	0.18	18.8	0.19	23.8	0.21
2020	1026	41.3	0.36	15.3	0.26	23.0	0.28	29.6	0.31
1998-2020	23393	48.5	0.31	19.9	0.24	29.5	0.26	37.3	0.28

Tabelle 12

Altersverteilung des Sterbealters (tumorbedingter Tod) für 2007–2020
(**Einschl. Mehrfachmalignome**)

Alter bei Tod Jahre	Anzahl n	%	Kum. %
0-4			
5-9			
10-14			
15-19			
20-24			
25-29	18	0.1	0.1
30-34	55	0.3	0.5
35-39	139	0.9	1.3
40-44	298	1.8	3.2
45-49	562	3.5	6.6
50-54	840	5.2	11.9
55-59	1115	6.9	18.8
60-64	1318	8.2	26.9
65-69	1777	11.0	38.0
70-74	2185	13.6	51.5
75-79	2410	14.9	66.5
80-84	2337	14.5	81.0
85+	3070	19.0	100.0
Gesamt	16124	100.0	

Tabelle 13

Altersspezifische Mortalität (tumorbed. Tod), Anteil an allen Krebserkrankungen
für 2007-2020
(Einschl. Mehrfachmalignome)

Alter bei Tod Jahre	Anzahl n	Altersspez. Mortalität	MI-Index	Anteil Krebs %
0- 4		0.0		
5- 9		0.0		
10-14		0.0		
15-19		0.0		
20-24		0.0		
25-29	18	0.8	0.10	18.2
30-34	55	2.4	0.11	30.2
35-39	139	6.1	0.11	34.4
40-44	298	12.3	0.11	34.9
45-49	562	21.6	0.13	33.7
50-54	840	33.4	0.15	31.8
55-59	1115	51.2	0.22	29.3
60-64	1318	69.4	0.23	26.5
65-69	1777	98.0	0.26	25.6
70-74	2185	127.1	0.37	25.1
75-79	2410	160.5	0.44	24.8
80-84	2337	219.5	0.61	25.1
85+	3070	294.5	0.80	25.9
Gesamt	16124			26.3
Mortalität				
Roh		48.0	0.31	
WS		18.8	0.23	
ES		28.0	0.25	
BRD-S		35.8	0.28	
PYLL-70				
je 100.000		251.8		
ES		210.2		
AYLL-70		11.6		

Tabelle 14

Weitere Malignome bei Verstorbenen in den Jahren 1998–2020

Diagnose	Anzahl n	Anteil		Syn- chron ±30d		Nach- her		
		gesamt %↓	Vorher n	Vorher ←%	n	←%	n	←%
C03-C06 Mundhöhle	47	0.5	18	38.3	4	8.5	25	53.2
C09-C10 Oropharynx	37	0.4	10	27.0	2	5.4	25	67.6
C15 Ösophagus	88	0.9	6	6.8	5	5.7	77	87.5
C16 Magen	354	3.7	70	19.8	22	6.2	262	74.0
C17 Dünndarm	33	0.3	7	21.2	2	6.1	24	72.7
C18 Kolon	713	7.5	201	28.2	46	6.5	466	65.4
C19-C20 Rektum	303	3.2	90	29.7	26	8.6	187	61.7
C21 Anus/Analkanal	32	0.3	7	21.9	4	12.5	21	65.6
C22 Leber	89	0.9	5	5.6	6	6.7	78	87.6
C23-C24 Galle	100	1.0	3	3.0	3	3.0	94	94.0
C25 Pankreas	454	4.7	22	4.8	25	5.5	407	89.6
C32 Larynx	23	0.2	8	34.8	1	4.3	14	60.9
C33-C34 Lunge	821	8.6	71	8.6	62	7.6	688	83.8
C43 Malign. Melanom	289	3.0	133	46.0	14	4.8	142	49.1
C44 Sonst.Ca Haut	443	4.6	141	31.8	41	9.3	261	58.9
C46,C49 Weichteilsarkom	86	0.9	19	22.1			67	77.9
C48 Peritoneal	41	0.4	4	9.8	5	12.2	32	78.0
C50 Mamma	2721	28.5	1	0.0	879	32.3	1841	67.7
C51 Vulva	60	0.6	17	28.3	2	3.3	41	68.3
C53 Cervix uteri	175	1.8	110	62.9	12	6.9	53	30.3
C54 Corpus uteri	533	5.6	205	38.5	48	9.0	280	52.5
C55,C57 Sonst.gyn.Tumor	32	0.3	10	31.3	4	12.5	18	56.3
C56 Ovar/Tube	511	5.3	113	22.1	44	8.6	354	69.3
C64 Niere	201	2.1	81	40.3	19	9.5	101	50.2
C65 Nierenbecken	31	0.3	8	25.8			23	74.2
C67 Harnblase	164	1.7	40	24.4	8	4.9	116	70.7
C69 Augenmelanom	25	0.3	8	32.0	3	12.0	14	56.0
C70-C72 ZNS	115	1.2	13	11.3	9	7.8	93	80.9
C73 Schilddrüse	134	1.4	70	52.2	2	1.5	62	46.3
C76-C79 Unbek.Primär-Ca	150	1.6	45	30.0	10	6.7	95	63.3
C81 M.Hodgkin-L.	42	0.4	30	71.4	1	2.4	11	26.2
C82-C85 Non-Hodgkin-L.	292	3.1	91	31.2	28	9.6	173	59.2
C90 Plasmozytom	98	1.0	11	11.2	6	6.1	81	82.7
C91-C96 Leukämie	166	1.7	16	9.6	7	4.2	143	86.1
Sonst. Malignome	158	1.7	29	18.4	9	5.7	120	75.9
Weitere Malignome gesamt	9561	100.0	1713	17.9	1359	14.2	6489	67.9

Weitere Tumoren mit einer Fallzahl 1 bis 19 sind in der Kategorie „Sonst. Malignome“ zusammengefasst.

ICD-10 C44 (Sonstige bösartige Neubildungen der Haut) wird nicht systematisch erhoben und nicht als Ersttumor ausgewertet, sondern nur als weiterer Tumor ausgewiesen.

Tabelle 15

Altersspezifische Mortalität (tumorbed. Tod), Anteil an allen Krebserkrankungen für 2007-2020
(Nur **Erstmalignome** *)

Alter bei Tod Jahre	Anzahl n	Altersspez. Mortalität	MI-Index	Anteil Krebs %
0- 4		0.0		
5- 9		0.0		
10-14		0.0		
15-19		0.0		
20-24		0.0		
25-29	17	0.8	0.10	18.9
30-34	44	1.9	0.09	27.5
35-39	126	5.5	0.11	34.5
40-44	248	10.2	0.10	32.9
45-49	474	18.2	0.12	33.1
50-54	686	27.3	0.14	30.6
55-59	890	40.9	0.21	28.0
60-64	1060	55.8	0.22	26.1
65-69	1426	78.6	0.26	25.9
70-74	1682	97.8	0.38	25.0
75-79	1876	124.9	0.47	25.2
80-84	1773	166.6	0.63	24.8
85+	2347	225.1	0.80	25.2
Gesamt	12649			26.0
Mortalität				
Roh		37.7	0.30	
WS		15.0	0.22	
ES		22.2	0.24	
BRD-S		28.2	0.27	
PYLL-70				
je 100.000		207.4		
ES		173.4		
AYLL-70		11.8		

* Siehe vergleichbare Tabellen mit Mehrfachmalignomen.

Tabelle 16

Altersspezifische Mortalität (tumorbed. Tod), Anteil an allen Krebserkrankungen für 2007-2020

(Nur Einfachmalignome *)

Alter bei Tod Jahre	Anzahl n	Altersspez. Mortalität	MI-Index	Anteil Krebs %
0- 4		0.0		
5- 9		0.0		
10-14		0.0		
15-19		0.0		
20-24		0.0		
25-29	15	0.7	0.09	17.2
30-34	41	1.8	0.09	25.9
35-39	121	5.3	0.11	33.6
40-44	244	10.1	0.11	32.8
45-49	451	17.3	0.12	31.9
50-54	622	24.8	0.14	28.2
55-59	791	36.3	0.20	25.3
60-64	868	45.7	0.20	21.8
65-69	1101	60.7	0.22	20.5
70-74	1237	71.9	0.31	18.9
75-79	1361	90.6	0.37	18.9
80-84	1317	123.7	0.50	19.2
85+	1842	176.7	0.65	20.7
Gesamt	10011			21.3
Mortalität				
Roh		29.8	0.26	
WS		12.3	0.20	
ES		18.1	0.21	
BRD-S		22.5	0.23	
PYLL-70				
je 100.000		187.6		
ES		157.3		
AYLL-70		12.5		

* Siehe vergleichbare Tabellen mit Mehrfachmalignomen.

ICD-10 C50: Bösartige Neubildung der Brustdrüse (Frauen)

Altersverteilung und altersspez. Mortalität 2007 - 2020 (n=16124)

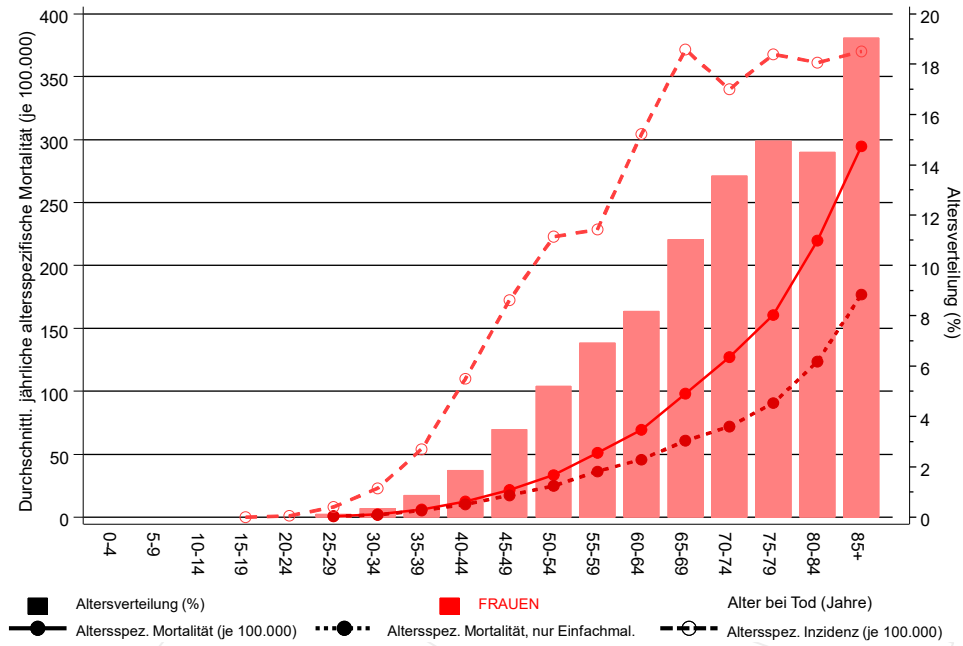


Abb. 17. Verteilung des Sterbealters (Säulen; Mittelwert=65,2 J., Median=65,7 J.) und altersspezifische Mortalität (alle Patienten: durchgezogene Linie, nur Patienten mit Einfachmalignomen: gepunktete Linie). Zum Vergleich ist die altersspezifische Inzidenz (gestrichelte Linie) eingezeichnet.

Zu beachten ist der Unterschied zwischen Alter bei Diagnose (Tab. 3) und dem Mammakarzinom (Frauen)-bedingten Tod (s. Tab. 10).

Durchschnittliche Mortalität (BRD 87-Standard) 2007 - 2020

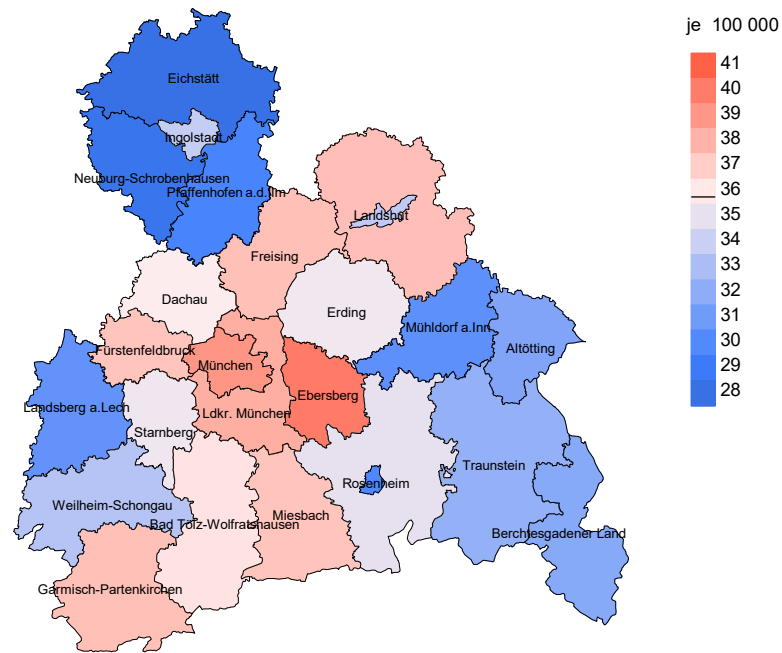


Abb. 18a. Kartierung der Mortalität (BRD-Standard) nach Landkreisen als Durchschnitt für die Diagnosejahrgänge 2007 bis 2020. Die rote bzw. blaue Farbe repräsentiert entsprechend ihrer Intensität höhere bzw. niedrigere Mortalitäten im Vergleich zum Mittel in der gesamten Region (35,8/100 000 WS N=16124), weiß.

Vorsicht bei der Interpretation! Im Landkreis Ebersberg als Beispiel mit 67 727 weiblichen Einwohnern (gemittelt) sind zwischen 2007 und 2020 insgesamt 488 Frauen mit Mammakarzinom (Frauen) verstorben. Hieraus errechnet sich eine durchschnittliche Mortalität (BRD-Standard) von 40,0/100 000. Unter Berücksichtigung möglicher Schwankungen kann die Mortalität in diesem Landkreis mit einer Wahrscheinlichkeit von 99% zwischen 35,4 und 45,1/100 000 liegen.

Standardisierte Mortalitätsratio (SMR) 2007 - 2020

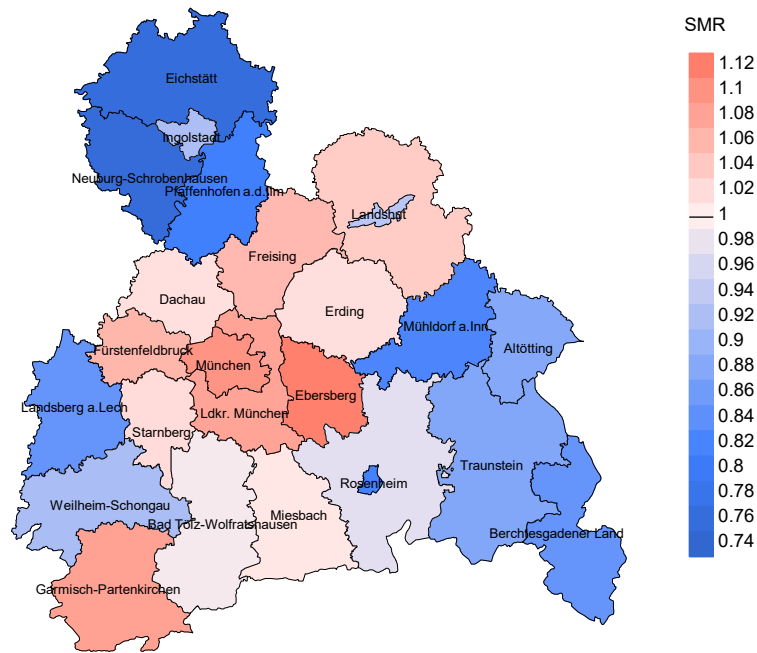


Abb. 18b. Kartierung der Standardisierten Mortalitätsratio (SMR, einschl. DCO-Fälle) nach Landkreisen als Durchschnitt für die Diagnosejahrgänge 2007 bis 2020. Die rote bzw. blaue Farbe repräsentiert entsprechend ihrer Intensität höhere bzw. niedrigere SMR-Werte im Vergleich zum Erwartungswert der gesamten Region von 1.0 (N=16 124), weiß.

Vorsicht bei der Interpretation! Im Landkreis Ebersberg als Beispiel mit 67 153 weiblichen Einwohnern (gemittelt) sind zwischen 2007 und 2020 insgesamt 488 Frauen mit Mammakarzinom (Frauen) verstorben. Hieraus errechnet sich eine durchschnittliche standardisierte Mortalitätsratio (SMR) von 1.12. Unter Berücksichtigung möglicher Schwankungen kann der Wert in diesem Landkreis mit einer Wahrscheinlichkeit von 99% zwischen 0.99 und 1.26 liegen und gilt damit als statistisch unauffällig.

Statistische Erläuterungen

In allen Tabellen und Abbildungen ist auf die jeweilige Bezugsgröße zu achten. Bei der Inzidenz sind es Diagnosen einschließlich der DCO-Fälle (wo verfügbar), bei der Mortalität Patienten, Diagnosen und ausgewählte Krankheitsverläufe. In die Berechnungen gehen alle Krankheitsverläufe ein, bei denen Progressionen aufgetreten sind und/oder die Todesbescheinigung eine progrediente Krebserkrankung enthielt. Zusätzlich sind 3 Gruppen von Krankheitsverläufen zu unterscheiden:

1. Einschließlich aller Mehrfachmalignome

Die Kenngrößen zur Mortalität beschreiben den tumorabhängigen Tod, unabhängig von welchem Malignom. Die Sicht der Patienten, induzierte Zweitmalignome, die Problematik der Mehrfachmalignome der gleichen Krebserkrankung sprechen für die Einbeziehung.

2. Nur singuläre Erstmalignome (keine anderes Malignom vorher oder gleichzeitig bekannt)

Die Kenngrößen zur Mortalität beschreiben den tumorabhängigen Tod für Patienten, die keine Therapierestriktionen wegen einer weiteren Krebserkrankung haben. Diese Kenngrößen sind mit Studien vergleichbar, die in der Regel Zweitmalignome als Ausschlusskriterium behandeln.

3. Einfachmalignome (keine anderes Malignom vorher, gleichzeitig oder nachher bekannt)

Die Kenngrößen zur Mortalität beschreiben den tumorabhängigen Tod, der durch die Behandlung erreicht wurde. Gerade der Unterschied zu 1. und 2. verdeutlicht die Größenordnung des Zweitmalignomproblems.

Damit ergeben sich Unterschiede zur monokausalen amtlichen Mortalitätsstatistik. Zur Beurteilung der Spannweite werden zwei weitere Tabellen aufbereitet. Zum einen werden die Verteilungen der Zweitmalignome vor bzw. gleichzeitig oder nach der beschriebenen Krebserkrankung dargestellt, die eine alternative Todesursache sein können. Zum anderen werden die altersspezifischen Mortalitätsraten für alle Krankheitsverläufe ohne Zweitmalignome ausgewiesen.

Eine bisher wenig beachtete Kenngröße ist das **Sterbealter**, das die Qualität der Klassifikation als wahrscheinlich tumorbedingter Tod gut beurteilen lässt. Für die wahrscheinlich tumorunabhängigen Sterbefälle sollte sich das Sterbealter aus dem Alter bei Diagnosestellung und der Lebenserwartung ergeben, für die tumorabhängigen Sterbefälle aus dem Alter bei Diagnosestellung plus der mittleren Überlebenszeit bei tumorbedingtem Tod. Beim Vergleich verschiedener Tumoren zeigt sich dieser Zusammenhang, wenn die Ursachen für Krebserkrankungen und konkurrierende Todesursachen unabhängig sind (z.B. Brust und Darm vs. Kopf/Hals und Lunge).

Der Index aus Mortalität und Inzidenz (Mortalitäts-Inzidenz-Index, **MI-Index**) ist eine Kenngröße zur Beurteilung der Datenqualität. Für prognostisch ungünstige Erkrankungen ergeben sich vergleichbare Werte für alle Altersklassen, weil Zähler und Nenner weitgehend dieselben Fälle betreffen. Bei prognostisch günstigen Tumoren, steigender und fallender Inzidenz und altersspezifischen Prognoseunterschieden kann der Index stärker variieren. Zusätzlich sind die Konfidenzintervalle bei kleinen Fallzahlen zu beachten.

Die hier angedeutete Problematik unterstreicht die Bedeutung des relativen Überlebens zur Bewertung der Langzeitergebnisse.

Als Maßzahlen für die Belastung durch eine Krankheit lassen sich u.a. die Anzahl von potenziell verlorenen Lebensjahren einer Kohorte (**PYLL**, potential years of life lost, standardisiert je 100 000 der Population oder nach Europastandard) und der durchschnittliche Verlust an Lebensjahren pro Individuum (**AYLL**, average years of life lost) durch vorzeitigen Tod berechnen. Je nach Zielrichtung (Gesundheitsökonomie, Prävention, Versorgungsforschung) existieren unterschiedliche Methoden zur Generierung dieser Maßzahlen. In der vorliegenden Auswertung ist entsprechend den Vorgaben der OECD und der WHO als Limit für einen vorzeitigen Tod das Lebensalter von 70 Jahren definiert, wie durch die Abkürzungen PYLL-70 bzw. AYLL-70 verdeutlicht.

Abkürzungen

TRM	Tumorregister München
GEKID	Gesellschaft der epidemiologischen Krebsregister in Deutschland e.V.
SEER	Surveillance, Epidemiology, and End Results (USA)
DCO	Diagnose nur aus Todesbescheinigung bekannt (death certificate only)
BRD-S	BRD-Standard
ES	Europastandard (alt)
WS	Weltstandard
SIR	Standardisierte Inzidenzratio (standardized incidence ratio)
KI	Konfidenzintervall
EAR	Zusätzliches absolutes Risiko (excess absolute risk) = Vermehrte Anzahl von Krebsfällen (O - E) pro 10.000 Beobachtungsjahre
PYLL-70	Verlorene Lebensjahre bis zum 70. Lebensjahr für davor Verstorbene
AYLL-70	Pro Person verlorene Lebensjahre bis zum 70. Lebensjahr für davor Verstorbene
SMR	Standardisierte Mortalitätsratio (standardized mortality ratio)
MI-Index	Verhältnis Mortalität zu Inzidenz

Empfohlene Zitierweise

Tumorregister München. ICD-10 C50: Mammakarzinom (Frauen) - Inzidenz und Mortalität [Internet]. 2021 [aktualisiert 24.08.2021]. Abrufbar von: https://www.tumorregister-muenchen.de/facts/base/bC50f_G-ICD-10-C50-Mammakarzinom-Frauen-Inzidenz-und-Mortalitaet.pdf

Autorenrechte

Der Zugang zu den vom Tumorregister München im offenen Internet bereitgestellten Inhalten ist weltweit verfügbar und kostenfrei. Die Dokumente dürfen unter Benennung der Urheberschaft frei heruntergeladen, genutzt, kopiert, gedruckt oder verteilt werden.

Haftungsausschluss

Das Tumorregister München übernimmt keinerlei Gewähr für die Aktualität, Korrektheit, Vollständigkeit oder Qualität der im Internet bereitgestellten Inhalte.